

669.162.283

## (14) 溶融帯・羽口間の高炉の動的挙動

名古屋大学大学院  
名古屋大学工学部○堀尾正輔  
鞭 崑

1. 緒言 高炉の動的挙動を知るための基礎的資料として、筆者らは前報<sup>1)</sup>で、溶融帯の動的挙動について、集中定数系近似で表現する数学的モデルを提出したが、本研究では、まず、溶融帯における諸変数の分布を考慮した解析を行ない、それにより集中定数系近似の妥当性を検討した。溶融帯下端・羽口間については、槽列モデルに基づいて動的挙動を解析し、溶融帯の集中定数系モデルと結合させて、羽口からの送風条件の変動に対する応答を調べた。

2. 解析方法 溶融帯下端・羽口間では、固、液、気の三相間の熱交換を考え、溶融ウスタイトの直接還元反応を考慮する。ガスと融体は準定常的に取扱い、コーカスについては、熱の蓄積を考慮した。得られた結果を下に示す。

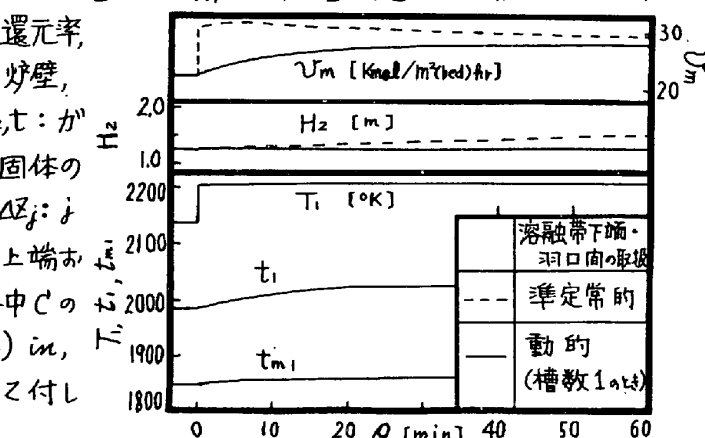
[溶融帯下端・羽口間の式]  $f_j = f_{j+1} + R_{3j}^*/(1.5 V_m X_{Fem}) \cdots (1)$ ,  $V_j = V_{j+1} + R_{3j}^* \cdots (2)$ ,  
 $V_{j+1} = V_j + R_{3j}^* \cdots (3)$ ,  $X_j = (V_{j-1} X_{j-1} + R_{3j}^*)/V_j \cdots (4)$ ,  $R_{3j}^* = k_3 \alpha_R (1.5 X_{Fem} P_m)^2 (1-f_j)^2 \Delta Z_j \cdots (5)$ ,  
 $T_j = [C_g V_{j-1} T_{j-1} + \{(ha)_{sg} t_j + (ha)_{gm} t_{mj} - g_w\} \Delta Z_j]/[C_g V_j + \{(ha)_{sg} + (ha)_{gm}\} \Delta Z_j] \cdots (6)$ ,  
 $t_{mj} = [C_m V_m t_{mj,j+1} + \{(ha)_{sm} t_j + (ha)_{gm} T_j\} \Delta Z_j + \alpha (-\Delta H_3) R_{3j}^*]/[C_m V_m + \{(ha)_{sm} + (ha)_{gm}\} \Delta Z_j] \cdots (7)$ ,  
 $(dt_j/d\theta) = [C_c (V_{j+1} t_{j+1} - V_j t_j) + \{(ha)_{sg} (T_j - t_j) + (ha)_{sm} (t_{mj,j} - t_j)\} \Delta Z_j + (1-\alpha) (-\Delta H_3) R_{3j}^* - (1-\varepsilon) C_c \rho_c t_j (d \Delta Z_j / d \theta)] / (1-\varepsilon) C_c \rho_c \Delta Z_j \cdots (8)$

[羽口レベルでの収支式]  $V_1 = \{1 + x_{o_2} + 22.4(y_w/9 + \gamma \eta_o y_o/H_c)\} V_b \cdots (9)$ ,  
 $V_1 = \{2x_{o_2} + 22.4(y_w/18 - \eta_o y_o/H_c)\} V_b \cdots (10)$ ,  $x_1 = (2x_{o_2} + 22.4y_w/18) V_b / V_1 \cdots (11)$ ,  
 $Q_R = [C_g T_b + (-\Delta H_c) + (-\Delta H_w)] 1.244 y_w + [C_o t_{o_2} - (-\Delta H_d)/H_c + (-\Delta H_o)] 22.4 \eta_o y_o + 2x_{o_2} (-\Delta H_c) - g_t / A V_b \cdots (12)$ ,  
 $\beta^* = C_g T_b + Q_R \cdots (13)$ ,  $\beta \equiv \beta^* V_b = C_g V_1 T_1 - C_c V_1 t_1 \cdots (14)$ ,  $V_b \equiv F_b / 22.4 A \cdots (15)$

[溶融帯；集中定数系の式]  $T = \{C_g V_m T_{in} + (-h_p a t_{ml} - g_w) Y\} / (C_g V_m + h_p a Y) \cdots (16)$ ,  
 $V_{in} = V_{z_1} - (1-\varepsilon) \rho_s (dZ_1/d\theta) \cdots (17)$ ,  $V_{out} = V_{z_2} - (1-\varepsilon) \rho_s (dZ_2/d\theta) \cdots (18)$ ,  $V_m = (T - t_{ml}) h_p a Y / L_m \cdots (19)$ ,  
 $V_{z_1} = V_{z_2} + V_m \cdots (20)$ ,  $(dZ_1/d\theta) = V_{z_1} / (1-\varepsilon) \rho_s - (\partial t / \partial \theta)_c / (\partial t / \partial Z)_{\theta=Z_1} \cdots (21)$ ,  
 $(dZ_2/d\theta) = \{V_{z_2} - V_m X_c\} / (1-X_c) \cdots (22)$ ,  $(dX_c/d\theta) = (X_{cm} - X_c) V_m / (1-\varepsilon) \rho_s Y \cdots (23)$

3. 結果 本研究で提出した動的モデルに基づいて、送風温度、送風量、増湿量などの変動に対する応答として、溶融帯の位置、溶融速度、羽口直上レベルでの温度変化などを求めた。溶融帯下端・羽口間の動的挙動の計算結果の一例を図1に示す。固体の蓄熱の効果は、応答の速さと振幅とともに小さくすることがわかった。(記号) A:炉断面積,  $\delta$ :還元率,  $H_2$ :羽口レベル・溶融帯下端間の距離,  $g_w$ ,  $g_t$ :炉壁, 羽口の冷却速度,  $R_3^*$ :直接還元反応速度,  $T$ ,  $t_m$ ,  $t$ :ガス, 融体, 固体のモル質量速度,  $y_w$ ,  $y_o$ :水蒸気, 重油添加量,  $\Delta Z_j$ :  $j$ 槽の長さ,  $Z_1$ ,  $Z_2$ :下方に向かって  $j$  槽の溶融帯上端および下端の位置,  $\gamma_o$ :重油の燃焼率,  $X_c$ :固体中Cのモル分率,  $X_{Fem}$ :融体中の全Feモル分率, (添字)  $in$ ,  $out$ :溶融帯への入量, 出量,  $\theta$ :上方に向かって付した槽の番号, 1:羽口直上レベル,  $b$ :送風

1) 堀尾, 鞍; 鉄と鋼 54 ('68) No. 10, S 351

図1.  $T_b + 100^\circ\text{C}$  ステップ入力 に対する応答